

## บทที่ 4

### ผลการทดลองและการวิจารณ์ผล

#### 4.1 ผลการวิเคราะห์กากตะกอน

4.1.1 ผลการศึกษาองค์ประกอบของกากตะกอน โดยเครื่อง Wavelength Dispersive X-ray Fluorescence Spectrometer Philips Model PW 2400

ตารางที่ 4.1 แสดงผลการศึกษาองค์ประกอบของกากตะกอนทั้งก่อนและหลังดูดซับ

ตัวอย่าง	เปอร์เซ็นต์ (% โดนน้ำหนัก)		
	กากตะกอนก่อนดูดซับ	กากตะกอนหลังดูดซับซีเลเนียม	กากตะกอนหลังดูดซับตะกั่ว
CaO	40.56	40.22	40.38
SiO <sub>2</sub>	34	34.17	34.1
Al <sub>2</sub> O <sub>3</sub>	14.11	14.32	14.24
MgO	6.59	6.62	6.58
SO <sub>3</sub>	2.84	2.74	2.81
TiO <sub>2</sub>	0.49	0.5	0.44
MnO	0.41	0.44	0.41
K <sub>2</sub> O	0.32	0.36	0.36
Na <sub>2</sub> O	0.22	0.23	0.22
Fe <sub>2</sub> O <sub>3</sub>	0.23	0.22	0.19
BaO	0.14	0.1	0.17
SrO	0.05	0.04	0.04
ZrO <sub>2</sub>	0.03	0.03	0.03
Y <sub>2</sub> O <sub>3</sub>	0.01	0.01	0.01
PbO	ND.	ND.	0.04
	ND. = ตรวจไม่พบ (not detected)		

ในการดำเนินการวิจัยครั้งนี้ใช้กากตะกอนจากการหลอมเหล็กเป็นตัวดูดซับโลหะ ได้แก่ ตะกั่ว และซีเลเนียม ดังนั้น จึงมีความจำเป็นต้องศึกษาองค์ประกอบของกากตะกอนเพื่อเป็นข้อมูลพื้นฐานในการวิเคราะห์ ดังผลการทดลองที่ได้ ในตารางที่ 4.1 พบว่า องค์ประกอบไม่มีการเปลี่ยนแปลงอย่างชัดเจน แตกต่างกันเพียงเล็กน้อย

#### 4.1.2 ผลการศึกษาเพื่อหาพื้นที่ผิวของกากตะกอน โดยเครื่อง BET Surface Area

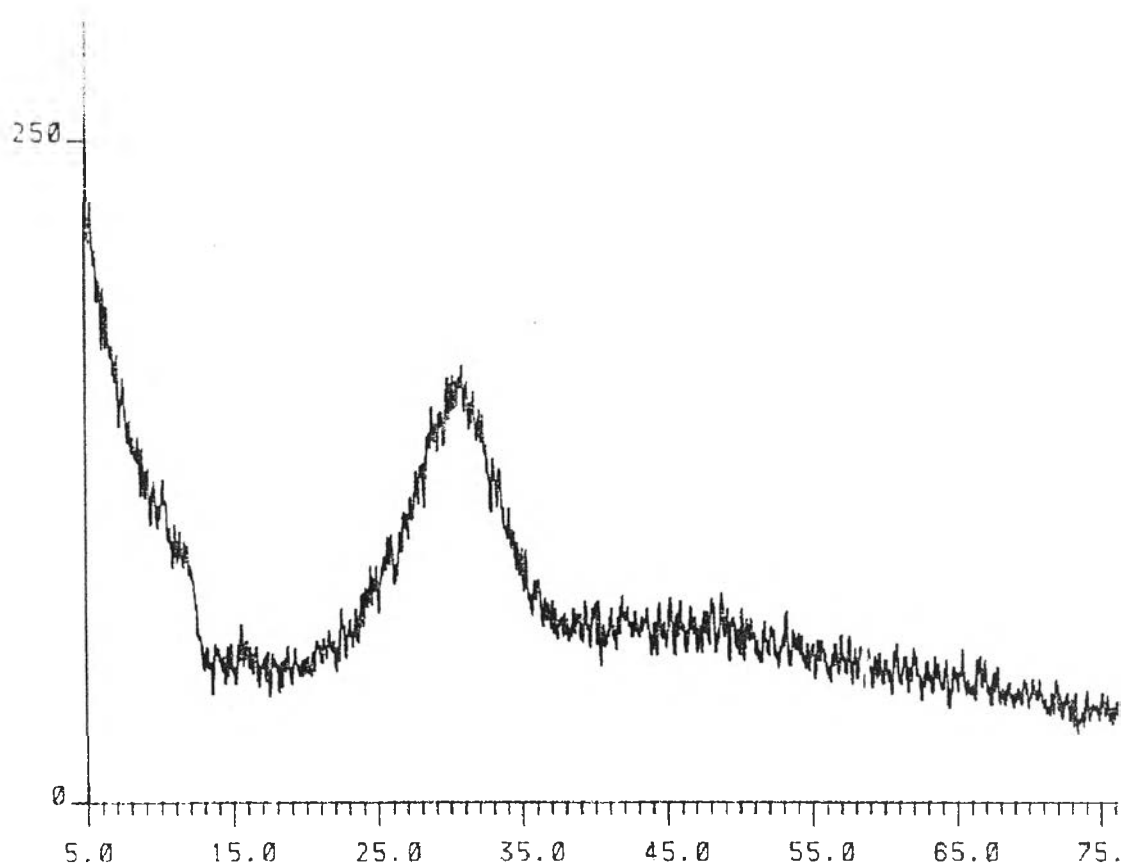
##### Analysis

จากผลการทดลองที่ภายใต้อุณหภูมิ 77 องศาเคลวิน ความดันบรรยากาศ 760 มิลลิเมตรปรอท ความดันอิ่มตัว 763.52 มิลลิเมตรปรอท โดยใช้ไนโตรเจนเป็นสารดูดซับ (Adsorbate) พบว่า พื้นที่ผิว BET = 1.6217 ตารางเมตรต่อกรัม และมีขนาดรูพรุนเฉลี่ย (Average Pore Diameter) = 24.0325 Å.

จะเห็นว่าพื้นที่ผิว BET ที่ได้จากการทดลองมีค่าน้อยกว่าที่มีการอ้างไว้ในบทที่ 2 ซึ่งอาจเกิดเนื่องจากกากตะกอนเป็นผลพลอยได้จากกระบวนการถลุงเหล็ก และขั้นตอนการลดอุณหภูมิในเตาหลอมเพื่อให้เหล็กบริสุทธิ์จะมีการนำเป็นตัวลดอุณหภูมิ (Quenching) หากน้ำที่ฉีดมีปริมาณมากจะทำให้กากตะกอนมากมีพื้นที่ผิวมากด้วย ดังนั้นพื้นที่ผิวของกากตะกอนจึงขึ้นอยู่กับปริมาณน้ำที่ใส่ลดอุณหภูมิ (บริษัทกระจกไทยอาซาฮี; Stocchi, 1990)

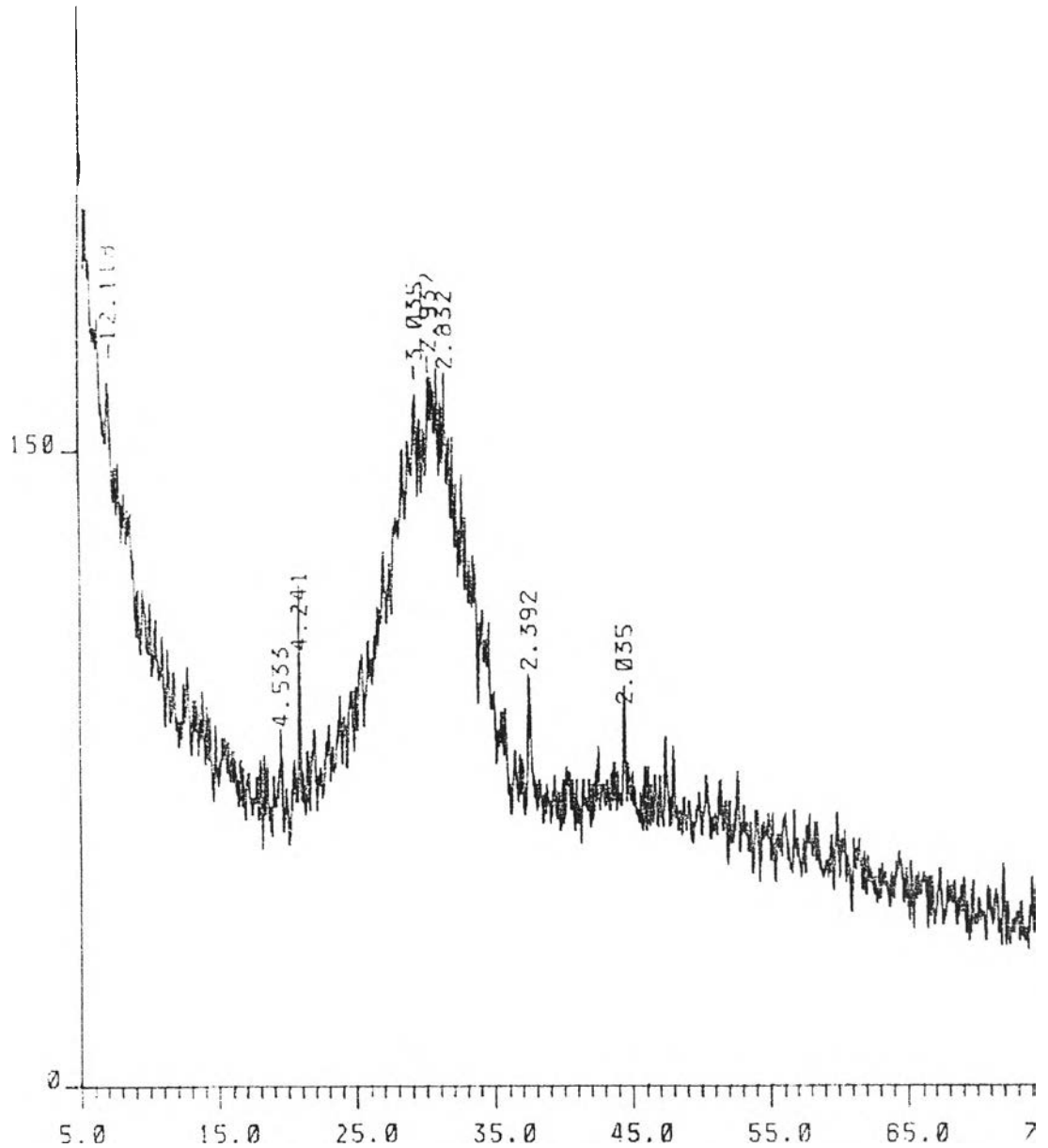
#### 4.1.3 ผลการศึกษาลักษณะของกากตะกอน โดยเครื่องเอกซเรย์ดิฟแฟกโตมิเตอร์ (X-ray Diffractometer : XRD)

จากผลการทดลอง พบว่ากากตะกอนก่อนการดูดซับไม่มีสารใดๆมาติดบริเวณผิวในปริมาณความเข้มข้นที่มากพอจะตรวจพบ คือ น้อยกว่า 3% ของน้ำหนักตัวอย่าง จึงไม่ปรากฏพีคของกราฟใดๆเลย ดังรูป 4.1

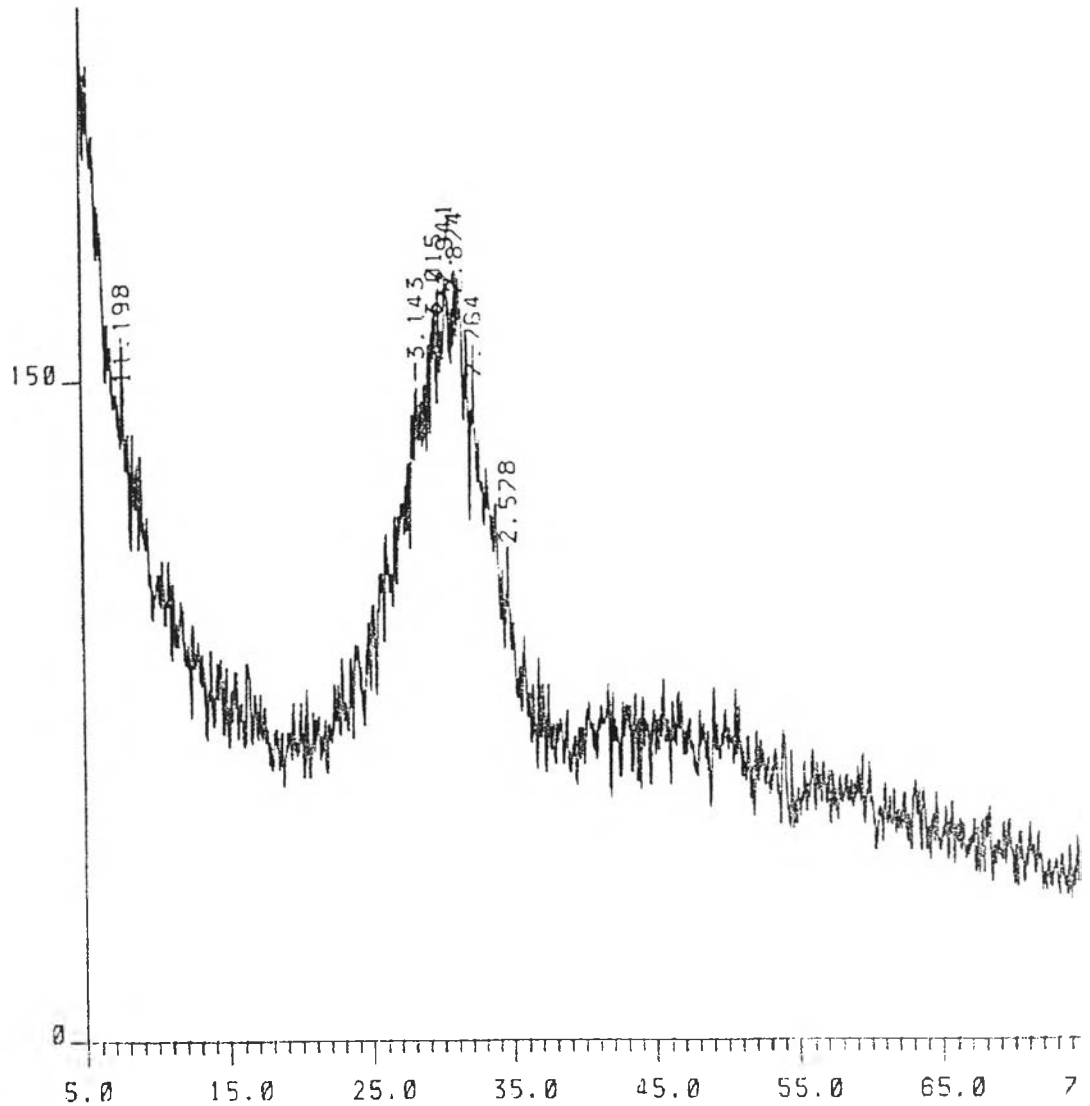


รูปที่ 4.1 แสดงผล XRD ของกากตะกอนก่อนการดูดซับ

กากตะกอนหลังการดูดซับทั้งตะกั่วและซีลีเนียม พบว่ามีพีคของกราฟออกมาบ้างแต่ไม่สามารถใช้เป็นตัวอย่างที่ได้ว่าเป็นพีคของสารใด ดังรูป 4.2 สำหรับกากตะกอนหลังการดูดซับตะกั่ว และรูป 4.3 สำหรับกากตะกอนหลังการดูดซับซีลีเนียม



รูป 4.2 แสดงผล XRD ของกากตะกอนหลังการดูดซับตะกั่ว



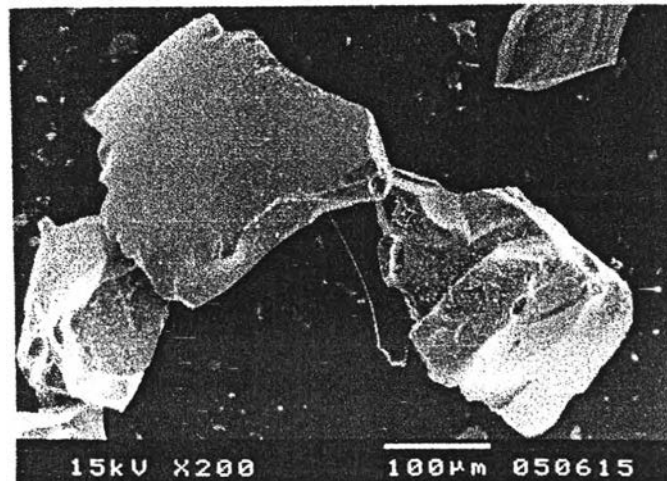
รูป 4.3 แสดงผล XRD ของกากตะกอนหลังการดูดซับซีเลเนียม

จากรูปจะเห็นว่า ผลการทดลอง XRD ไม่สามารถบอกได้ว่ามีผลึกของธาตุใดในกากตะกอน ซึ่งอาจเกิดได้ 2 สาเหตุคือ

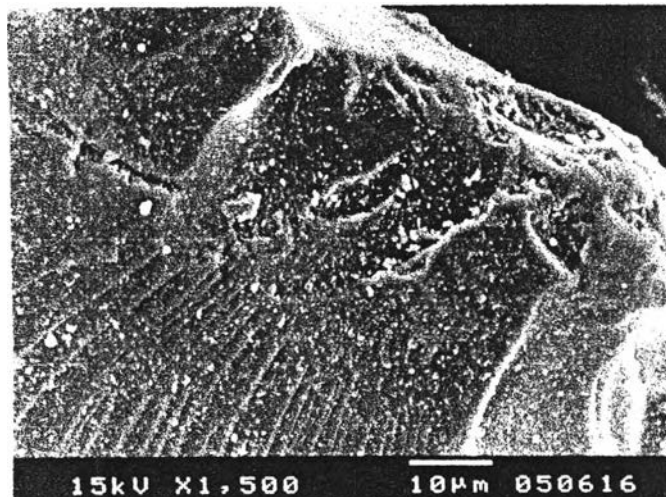
1. ปริมาณความเข้มข้นของผลึกธาตุที่บริเวณผิว มีน้อยกว่า 3% ของน้ำหนักตัวอย่าง จึงไม่สามารถตรวจพบ ซึ่งแสดงว่าที่บริเวณผิวก่อนการดูดซับไม่มีผลึกของสารหรือธาตุใดๆ ปนเปื้อนอยู่ในปริมาณที่เพียงพอที่จะมีผลต่อแนวโน้มของการทดลอง ดังรูป 4.1
2. อาจเกิดจากลักษณะของสารที่บริเวณผิวไม่อยู่ในรูปผลึกแต่เป็นสัณฐานที่ไม่แน่นอน (Amorphous) อาจเกิดเป็นสารประกอบเชิงซ้อนรูปร่างไม่แน่นอน ซึ่งแสดงว่าการทดลองที่เกิดขึ้นเป็นกระบวนการดูดซับ ไม่เกิดการตกผลึกของตะกั่วและซีเลเนียม

4.1.4 ผลการศึกษาลักษณะรูปร่าง โดยใช้เครื่องสแกนนิ่งอิเล็กตรอนไมโครสโคป  
(Scanning Electron Microscopy: SEM)

จากผลการทดลอง พบว่ากากตะกอนก่อนการดูดซับเพื่อดูโครงสร้างผิวกากตะกอนที่กำลังขยาย 200 เท่า, 1500 เท่า ดังรูป 4.4 และรูป 4.5 ตามลำดับ

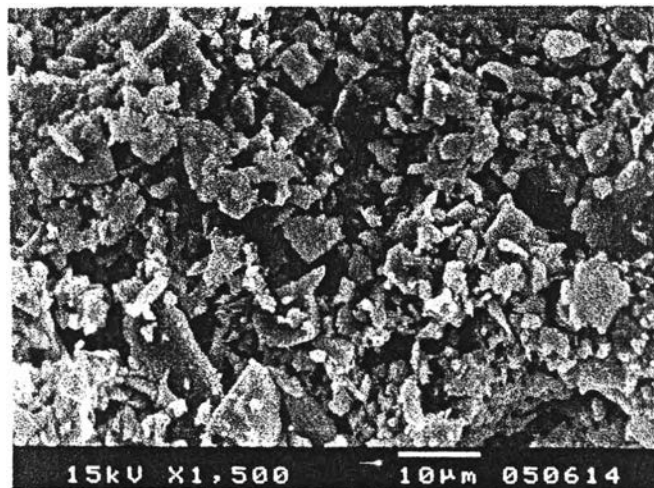


รูปที่ 4.4 โครงสร้างผิวกากตะกอนที่กำลังขยาย 200 เท่า

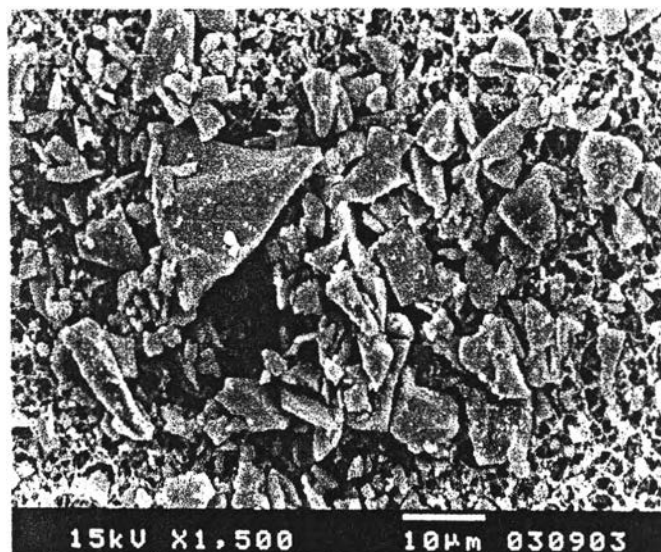


รูปที่ 4.5 โครงสร้างผิวกากตะกอนที่กำลังขยาย 1500 เท่า

จากผลการทดลอง พบว่ากากตะกอนหลังการดูดซับตะกั่วและซีลีเนียมเพื่อดูโครงสร้างผิวกากตะกอนที่กำลังขยาย 1500 เท่า ดังรูป 4.6 และรูป 4.7 ตามลำดับ



รูปที่ 4.6 โครงสร้างผิวกากตะกอนหลังการดูดซับตะกั่วที่กำลังขยาย 1500 เท่า



รูปที่ 4.7 โครงสร้างผิวกากตะกอนหลังการดูดซับซีเลเนียมที่กำลังขยาย 1500 เท่า

รูปกากตะกอนก่อนการดูดซับดูได้จากรูปที่ 4.4 แสดงโครงสร้างผิวกากตะกอนที่กำลังขยาย 200 เท่า จะพบว่า พื้นผิวของกากตะกอนส่วนใหญ่มีความราบเรียบไม่เป็นหลุมหรือขรุขระ และรูปที่ 4.5 แสดงโครงสร้างผิวกากตะกอนที่กำลังขยาย 1500 เท่า จะพบว่ามีกลุ่มก้อนขรุขระเล็กๆเกาะที่ผิวของกากตะกอนในลักษณะกระจายทั่วไป สันนิษฐานว่าอาจจะเป็นสิ่งเจือปน (Impurity) ที่หลุดออกจากเตาหลอมเหล็กพร้อมกับกากตะกอน

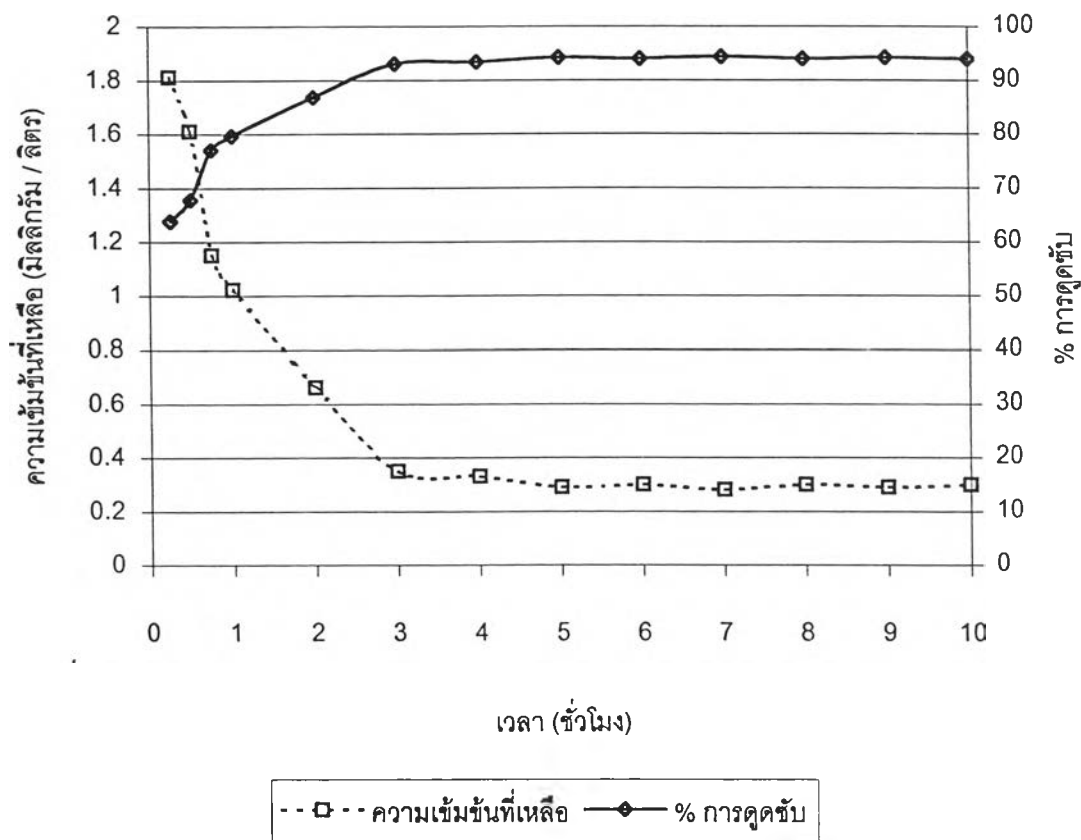
รูปกากตะกอนหลังการดูดซับดูได้จากรูปที่ 4.6 แสดงโครงสร้างผิวกากตะกอนหลังการดูดซับตะกั่วที่กำลังขยาย 1500 เท่า พบว่ามีวัสดุขนาดเล็กบ้างใหญ่บ้าง รูปทรงไม่แน่นอนมาเกาะที่ผิวของกากตะกอนอย่างหนาแน่นจนมองไม่เห็นกระดาษกรอง ในขณะที่รูปที่ 4.7 แสดงโครงสร้างผิวกากตะกอนหลังการดูดซับซีเลเนียมที่กำลังขยาย 1500 เท่า เช่นกัน พบว่ามีวัสดุขนาดเล็กบ้างใหญ่บ้าง รูปทรงไม่แน่นอน แต่โดยเฉลี่ยแล้วจะเห็นว่ามีความใหญ่กว่าวัสดุที่เกาะบนผิวของกากตะกอนหลังการดูดซับตะกั่ว และมีความหนาแน่นน้อยกว่าด้วย ซึ่งทำให้สามารถมองเห็นกระดาษกรองเมมเบรนได้อย่างชัดเจน





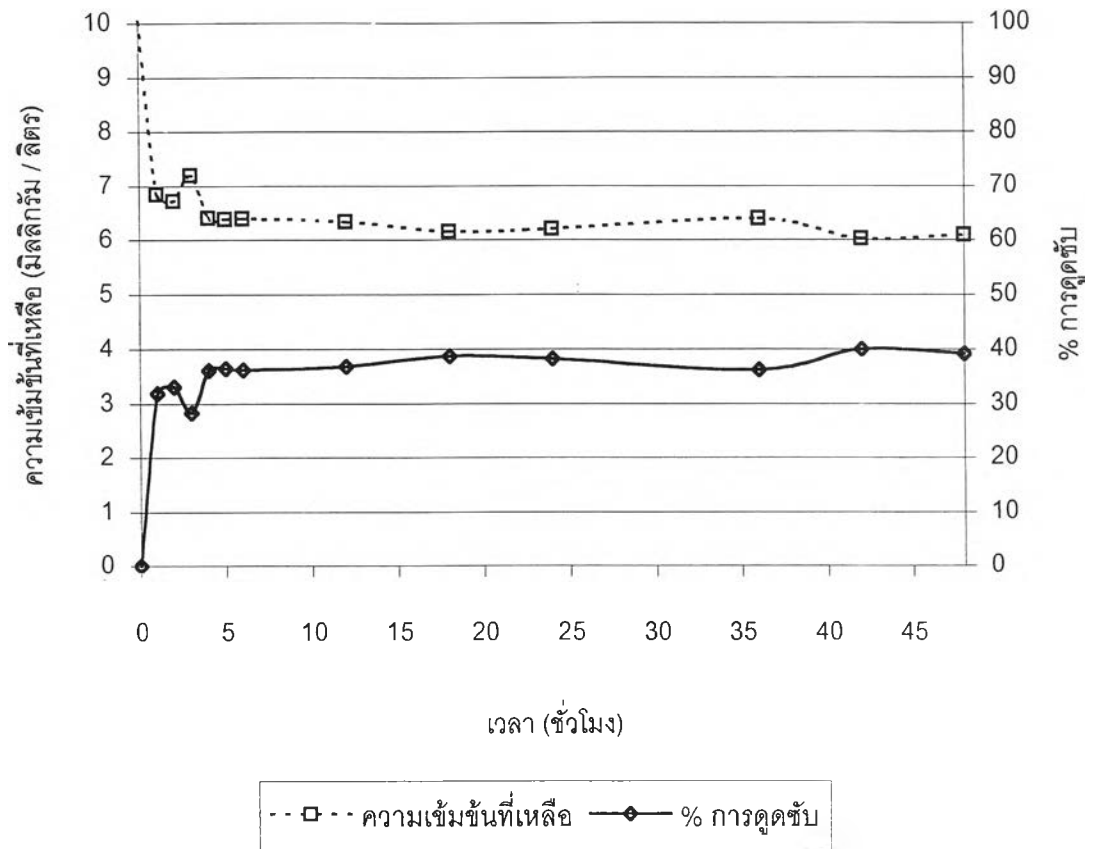
## 4.2 ผลการทดลองที่ 2

การศึกษาถึงผลกระทบของเวลาสัมผัส ต่อการดูดซับตะกั่วและซีเลเนียมสำหรับการดูดซับบนกากตะกอน



รูปที่ 4.8 แสดงผลของเวลาสัมผัสต่อการดูดซับตะกั่ว

จากรูปที่ 4.8 แสดงผลของเวลาสัมผัสต่อการดูดซับของตะกั่ว โดยที่แกน X คือ เปอร์เซ็นต์ การดูดซับ แกน Y คือ ค่าเวลา หน่วยเป็นชั่วโมง พบว่า การดูดซับของตะกั่วจะลดลงอย่างรวดเร็ว ในชั่วโมงแรก และจะค่อยๆลดลงอย่างต่อเนื่องจนถึงเวลา 3 ชั่วโมง หลังจากนั้นจะเห็นว่าการดูดซับลดลงอย่างช้าๆจนถึงเวลา 5 ชั่วโมง ความเข้มข้นที่เหลือเริ่มคงที่ ซึ่งสอดคล้องกับงานวิจัยอื่นๆ ที่ผ่านมามีคือ เวลาที่เข้าสู่สมดุลของการดูดซับตะกั่วบนกากตะกอนเท่ากับ 5 ชั่วโมง (Lopez-Delegado, 1998) ดังนั้นจึงนำค่าเวลาสัมผัสคือ 5 ชั่วโมงที่เหมาะสมนี้เป็นเวลาที่ใช้ในการทำการทดลองต่างๆต่อไป

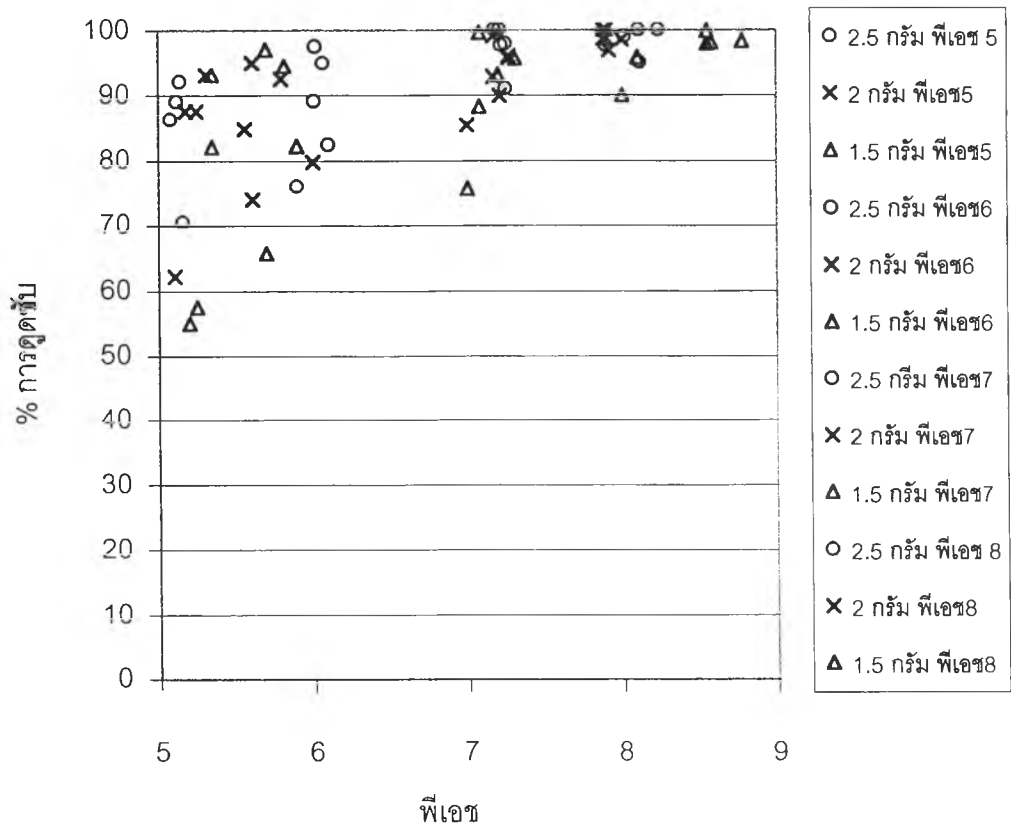


รูปที่ 4.9 แสดงผลของเวลาสัมผัสต่อการดักจับซีเลเนียม

ส่วนรูปที่ 4.9 แสดงผลของเวลาสัมผัสต่อการดักจับซีเลเนียม โดยที่แกน X คือ เปอร์เซ็นต์การดักจับ แกน Y คือ ค่าเวลา หน่วยเป็นชั่วโมง พบว่า การดักจับของซีเลเนียมจะลดลงอย่างรวดเร็วในชั่วโมงแรกและลดลงอย่างต่อเนื่องจนเกือบจะคงที่เมื่อผ่านไป 5 ชั่วโมง ถึงแม้ในชั่วโมงที่ 4 ค่าอาจมีการคลาดเคลื่อนบ้างแต่การลดลงหลังจากชั่วโมงที่ 5 ไปแล้วมีแนวโน้มที่เหมือนกัน คือ การลดลงเกือบจะคงที่ ซึ่งสอดคล้องกับงานวิจัยอื่นๆที่ผ่านมา นั่นคือ เมื่อระบบการดักจับซีเลเนียมบน Aluminum-Oxide-Coated Sand จะลดลงอย่างรวดเร็ว 1 ชั่วโมงและเลือกเวลาเข้าสู่สมดุลที่ 3 ชั่วโมง (Neal และคณะ, 1987; Neal และคณะ, 1988; Snoeyink และ Jenkins, 1980; Wen-Hui Kuan, 1997) เมื่อนำค่าความเข้มข้นที่เหลือ ณ เวลา 3 ชั่วโมงเทียบกับ 5 ชั่วโมงแล้วมีค่าต่างกันเพียงเล็กน้อย (น้อยกว่า 1 มิลลิกรัมต่อลิตรหรือ 10%) ดังนั้นจึงนำค่าเวลาสัมผัสคือ 5 ชั่วโมงเป็นเวลาที่ใช้ในการทำการทดลองต่างๆต่อไป

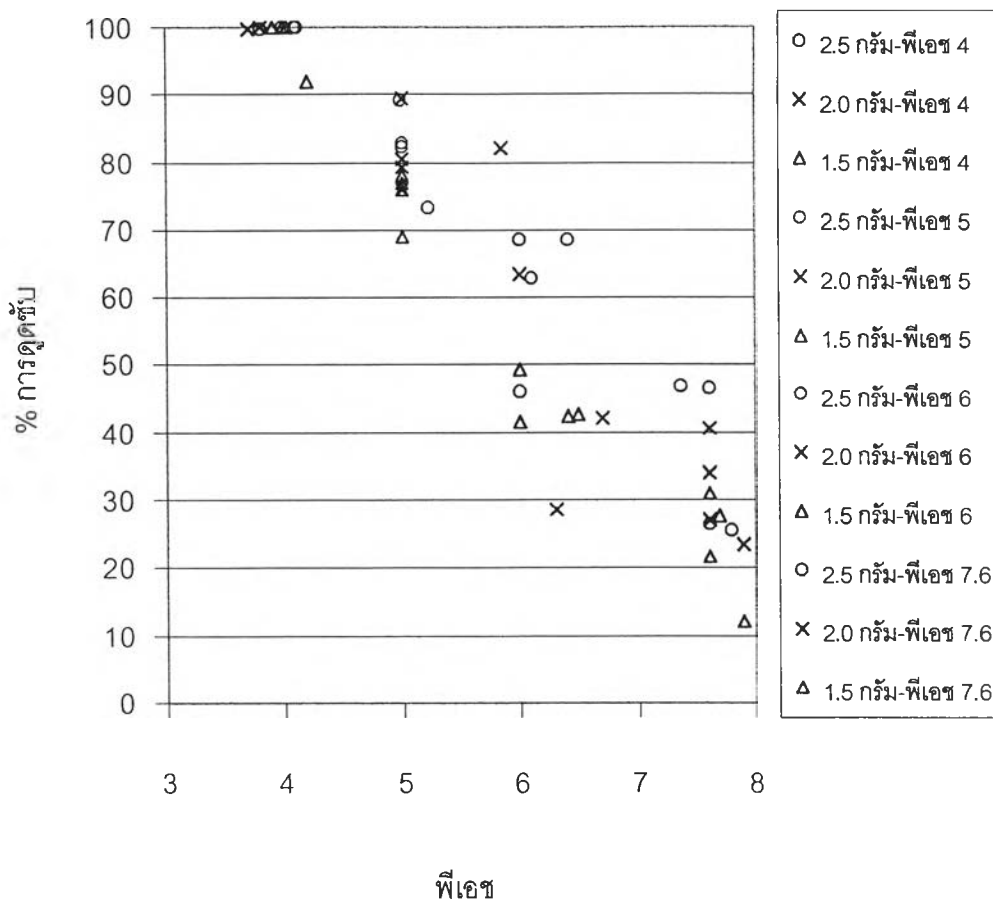
### 4.3 ผลการทดลองที่ 3

การทดลองที่ 3 การศึกษาถึงผลกระทบของพีเอช ต่อการดูดซับตะกั่วและซีลีเนียม สำหรับการดูดซับบนกากตะกั่ว



รูปที่ 4.10 แสดงผลกระทบของพีเอชต่อการดูดซับตะกั่ว

จากรูปที่ 4.10 แสดงผลกระทบของพีเอชต่อการดูดซับตะกั่ว โดยแกน X คือ ค่าแกน Y คือ ค่าเปอร์เซ็นต์การดูดซับ ที่ปริมาณกากตะกั่ว 1.5, 2.0 และ 2.5 กรัม ที่พีเอช 5, 6, 7 และ 8 พบว่า เมื่อพีเอชสูงขึ้นค่าเปอร์เซ็นต์การดูดซับมีแนวโน้มสูงขึ้น โดยเห็นได้จากที่พีเอช 5 (วงกลม) ข้อมูลโดยเฉลี่ยจะเกาะกลุ่มกันอยู่ที่ค่าเปอร์เซ็นต์การดูดซับประมาณ 75%, ที่พีเอช 6 (กากบาท) ข้อมูลโดยเฉลี่ยจะเกาะกลุ่มกันอยู่ที่ค่าเปอร์เซ็นต์การดูดซับประมาณ 85%, ที่พีเอช 7 (สี่เหลี่ยม) ข้อมูลโดยเฉลี่ยจะเกาะกลุ่มกันอยู่ที่ค่าเปอร์เซ็นต์การดูดซับประมาณ 93% และที่พีเอช 8 (สามเหลี่ยม) ข้อมูลโดยเฉลี่ยจะเกาะกลุ่มกันอยู่ที่ค่าเปอร์เซ็นต์การดูดซับประมาณ 97% โดยเพิ่มขึ้นตามลำดับ ซึ่งสอดคล้องกับงานวิจัยที่ผ่านมา คือ เมื่อพีเอชสูงขึ้นการดูดซับตะกั่วจะเพิ่มขึ้น (Dimetrova และ Mehandgiev, 1998; Hochella และ White, 1990; Srivastava, 1997; www.mtsc.unt.edu)

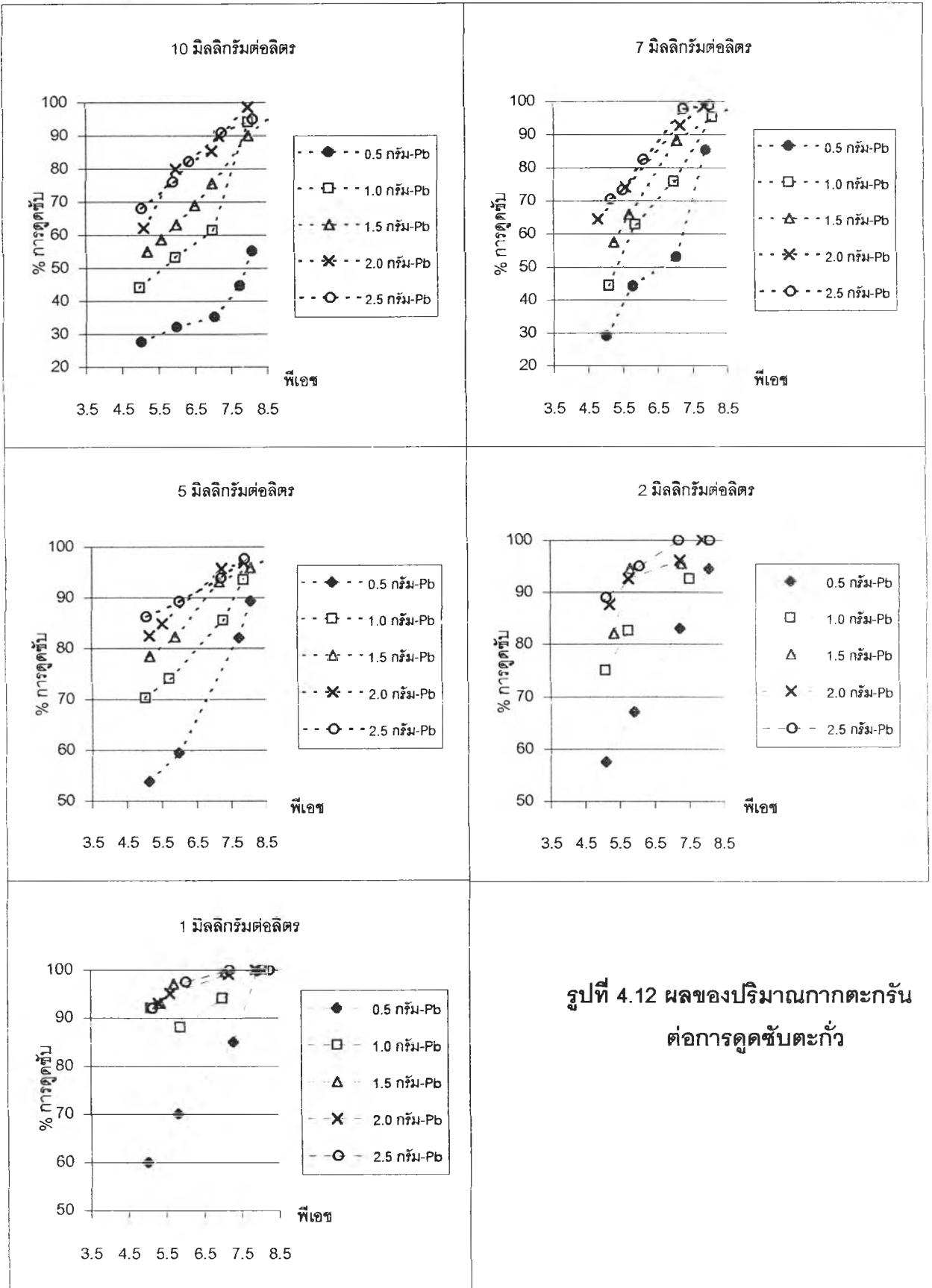


รูปที่ 4.11 แสดงผลกระทบของพีเอชต่อการดูดซับซีเลเนียม

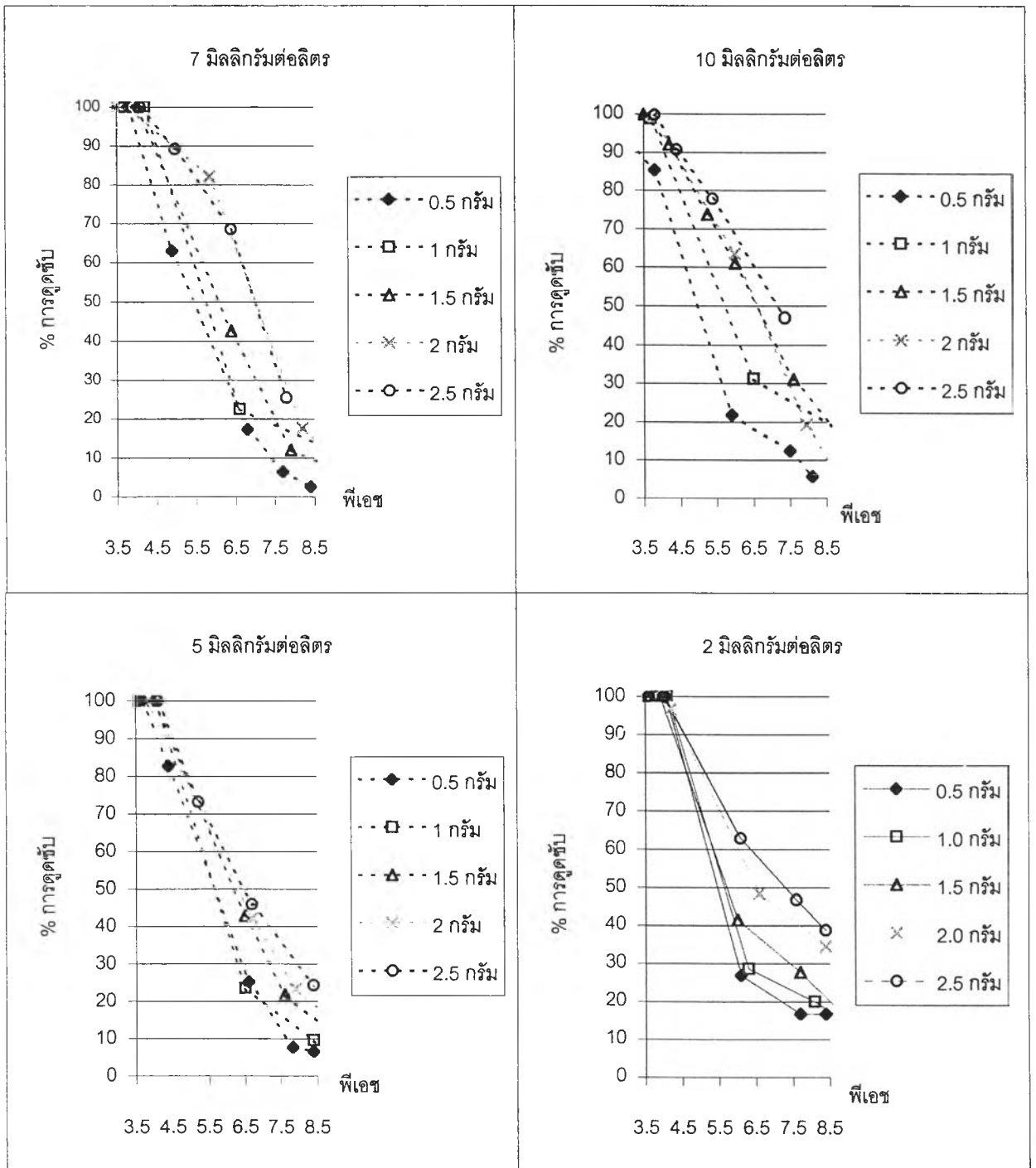
จากรูปที่ 4.11 แสดงผลกระทบของพีเอชต่อการดูดซับซีเลเนียม โดยแกน X คือ ค่าแกน Y คือ ค่าเปอร์เซ็นต์การดูดซับ ที่ปริมาณกากตะกอน 1.5, 2.0 และ 2.5 กรัม ที่พีเอช 5, 6, 7 และ 8 พบว่า เมื่อพีเอชสูงขึ้นค่าเปอร์เซ็นต์การดูดซับมีแนวโน้มลดลง ตรงข้ามกับตะกั่ว โดยเห็นได้จากที่พีเอช 4 (วงกลม) ข้อมูลโดยเฉลี่ยจะเกาะกลุ่มกันอยู่ที่ค่าเปอร์เซ็นต์การดูดซับประมาณ 99%, ที่พีเอช 5 (กากบาท) ข้อมูลโดยเฉลี่ยจะเกาะกลุ่มกันอยู่ที่ค่าเปอร์เซ็นต์การดูดซับประมาณ 80%, ที่พีเอช 6 (สี่เหลี่ยม) ข้อมูลโดยเฉลี่ยจะเกาะกลุ่มกันอยู่ที่ค่าเปอร์เซ็นต์การดูดซับประมาณ 60% และที่พีเอช 7.6 (สามเหลี่ยม) ข้อมูลโดยเฉลี่ยจะเกาะกลุ่มกันอยู่ที่ค่าเปอร์เซ็นต์การดูดซับประมาณ 45% โดยเพิ่มขึ้นตามลำดับ ซึ่งสอดคล้องกับงานวิจัยที่ผ่านมา คือ เมื่อพีเอชสูงขึ้นการดูดซับซีเลเนียมจะลดลง (Neal และคณะ, 1987; Neal และคณะ, 1988; Pengchu และ Sparks, 1990; Scott และ Morgan, 1996; Wen-Hui Kuan, 1997)

4.4 ผลการทดลองที่ 4

การทดลองที่ 4 การศึกษาผลของปริมาณกากตะกอน ต่อการดูดซับตะกั่วและซีลีเนียม สำหรับการดูดซับบนกากตะกอน



รูปที่ 4.12 ผลของปริมาณกากตะกอน ต่อการดูดซับตะกั่ว



รูปที่ 4.13 ผลของปริมาณกากตะกอน ต่อการดูดซับซีเลเนียม

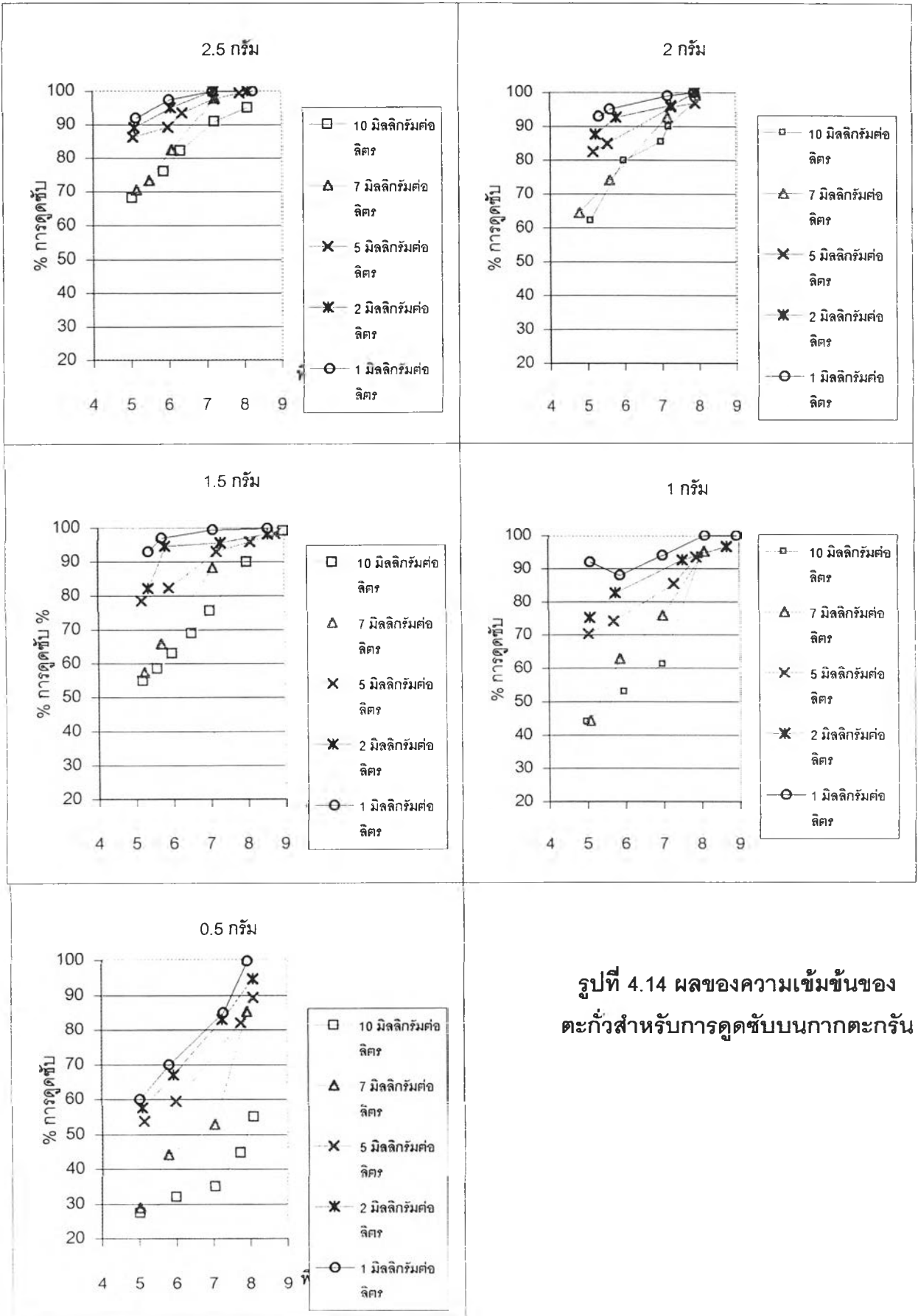
จากรูปที่ 4.12 แสดงผลของปริมาณกากตะกอนต่อการดูดซับตะกั่ว โดยแกน X คือ ค่าพีเอช แกน Y คือ ค่าเปอร์เซ็นต์การดูดซับ ที่ปริมาณกากตะกอน 0.5, 1.0, 1.5, 2.0 และ 2.5 กรัม พบว่า พีเอชเดียวกัน ปริมาณกากตะกอนน้อย จะมีเปอร์เซ็นต์ในการดูดซับได้น้อยกว่าปริมาณกากตะกอนมาก เช่น เมื่อความเข้มข้นเริ่มต้น 10 มิลลิกรัมต่อลิตร ที่พีเอช 7 ปริมาณกากตะกอน 0.5 กรัม เปอร์เซ็นต์การดูดซับมีค่าประมาณ 35%, ปริมาณกากตะกอน 1.0 กรัม เปอร์เซ็นต์การดูดซับมีค่าประมาณ 60%, ปริมาณกากตะกอน 1.5 กรัม เปอร์เซ็นต์การดูดซับมีค่าประมาณ 76%, ปริมาณกากตะกอน 2.0 กรัม เปอร์เซ็นต์การดูดซับมีค่าประมาณ 85%, และปริมาณกากตะกอน 2.5 กรัม เปอร์เซ็นต์การดูดซับมีค่าประมาณ 88%

จากรูปที่ 4.13 แสดงผลของปริมาณกากตะกอนต่อการดูดซับซีเลเนียม โดยแกน X คือ ค่าพีเอช แกน Y คือ ค่าเปอร์เซ็นต์การดูดซับ ที่ปริมาณกากตะกอน 0.5, 1.0, 1.5, 2.0 และ 2.5 กรัม พบว่า ผลโดยส่วนใหญ่มีแนวโน้มเหมือนตะกั่ว คือที่พีเอชเดียวกัน ปริมาณกากตะกอนน้อย จะมีเปอร์เซ็นต์ในการดูดซับได้น้อยกว่าปริมาณกากตะกอนมาก เช่น เมื่อความเข้มข้นเริ่มต้น 2 มิลลิกรัมต่อลิตร ที่พีเอช 7.5 ปริมาณกากตะกอน 0.5 กรัม เปอร์เซ็นต์การดูดซับมีค่าประมาณ 17%, ปริมาณกากตะกอน 1.0 กรัม เปอร์เซ็นต์การดูดซับมีค่าประมาณ 22%, ปริมาณกากตะกอน 1.5 กรัม เปอร์เซ็นต์การดูดซับมีค่าประมาณ 26%, ปริมาณกากตะกอน 2.0 กรัม เปอร์เซ็นต์การดูดซับมีค่าประมาณ 40%, และปริมาณกากตะกอน 2.5 กรัม เปอร์เซ็นต์การดูดซับมีค่าประมาณ 47%

ซึ่งสอดคล้องกับงานวิจัยที่ผ่านมา คือ ปริมาณกากตะกอนหรืออีกนัยหนึ่งคือปริมาณพื้นผิวของตัวดูดซับ เป็นปัจจัยหนึ่งที่สำคัญต่อการเลือกตัวดูดซับในปริมาณที่เหมาะสม เนื่องจากในทางปฏิบัติตามโรงงานหรือในอุตสาหกรรมต่างๆ อาจต้องใช้ตัวดูดซับที่มีราคาแพง หากเราใช้ปริมาณตัวดูดซับมากเกินไปนั้นหมายถึง เงินทุนที่โรงงานต่างต้องเสียไป (Lopez และคณะ, 1995; Wen-Hui Kuan, 1997)

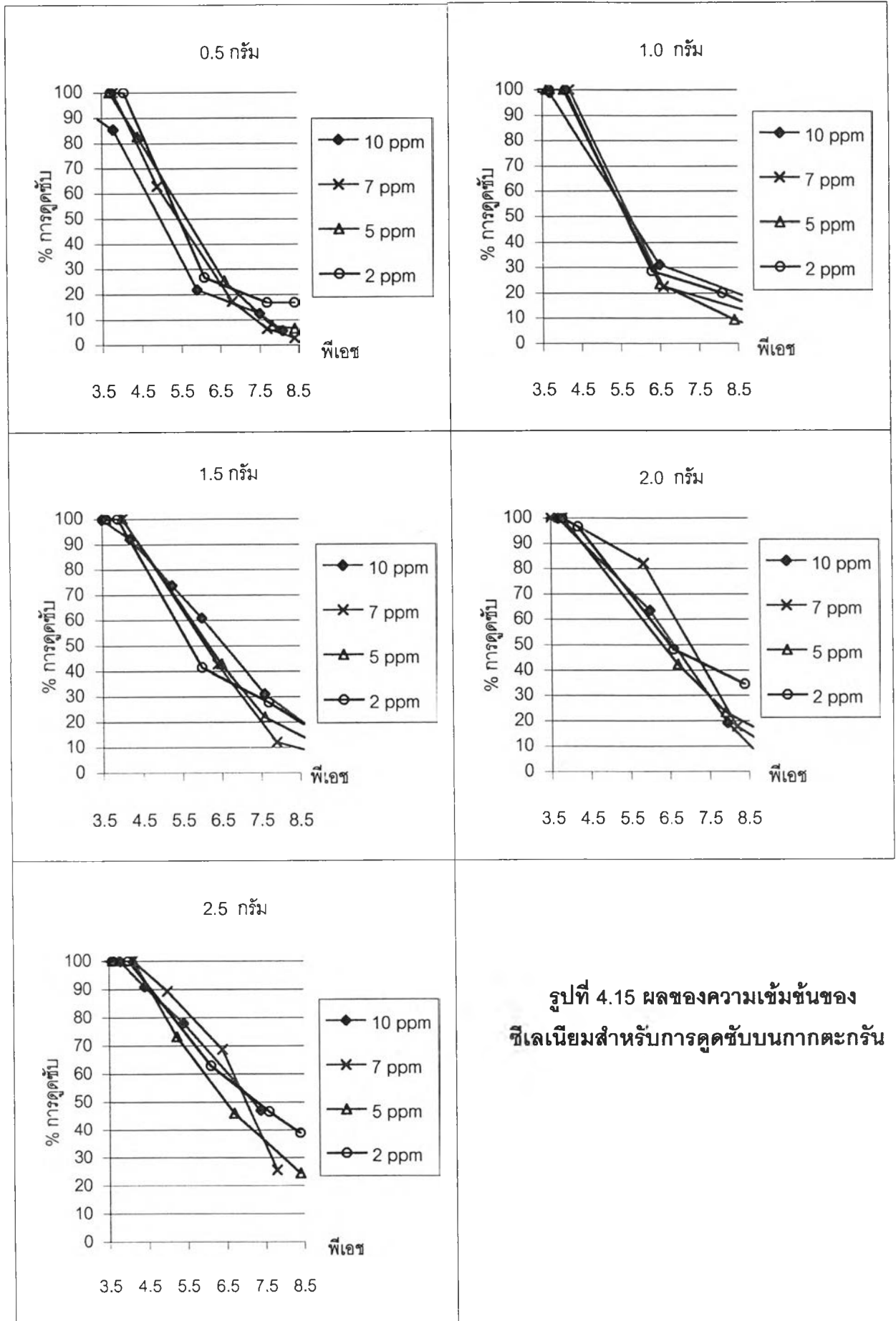
4.5 ผลการทดลองที่ 5

การทดลองที่ 5 การศึกษาผลของความเข้มข้นของตะกั่วและซีลีเนียมเริ่มต้นสำหรับการดูดซับบนกากตะกั่ว



รูปที่ 4.14 ผลของความเข้มข้นของตะกั่วสำหรับการดูดซับบนกากตะกั่ว





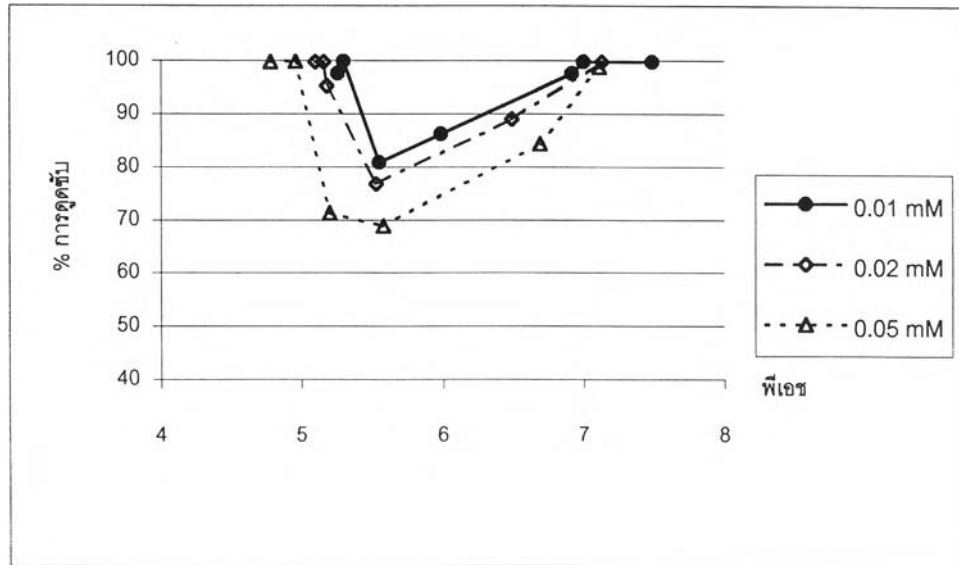
รูปที่ 4.15 ผลของความเข้มข้นของ  
ซีเลเนียมสำหรับการดูดซับบนกากตะกอน

จากรูปที่ 4.14 แสดงผลของความเข้มข้นเริ่มต้นต่อการดูดซับตะกั่ว โดยแกน X คือ ค่าพีเอช แกน Y คือ ค่าเปอร์เซ็นต์การดูดซับ ที่ความเข้มข้นเริ่มต้น 1, 2, 5, 7 และ 10 มิลลิกรัมต่อลิตร พบว่าที่พีเอชเดียวกันและปริมาณกากตะกั่วเท่ากัน ความเข้มข้นเริ่มต้นต่ำกว่า จะมีเปอร์เซ็นต์การดูดซับดีกว่า เช่น ที่พีเอช 6 ปริมาณกากตะกั่ว 0.5 กรัม เมื่อความเข้มข้นเริ่มต้น 1 มิลลิกรัมต่อลิตร เปอร์เซ็นต์การดูดซับ มีค่าเพียง ประมาณ 32%, เมื่อความเข้มข้นเริ่มต้น 2 มิลลิกรัมต่อลิตร เปอร์เซ็นต์การดูดซับ มีค่าเพิ่มขึ้นเป็น ประมาณ 45%, เมื่อความเข้มข้นเริ่มต้น 5 มิลลิกรัมต่อลิตร เปอร์เซ็นต์การดูดซับมีค่าเพิ่มขึ้นเป็น ประมาณ 60%, เมื่อความเข้มข้นเริ่มต้น 7 มิลลิกรัมต่อลิตร เปอร์เซ็นต์การดูดซับมีค่าเพิ่มขึ้นเป็น ประมาณ 68% และเมื่อความเข้มข้นเริ่มต้น 10 มิลลิกรัมต่อลิตร เปอร์เซ็นต์การดูดซับมีค่าประมาณ 73% ซึ่งสอดคล้องกับงานวิจัยที่ผ่านมา คือ ปริมาณกากตะกั่วหรืออีกนัยหนึ่งคือปริมาณพื้นผิวของตัวดูดซับ เป็นปัจจัยหนึ่งที่สำคัญต่อการเลือกตัวดูดซับในปริมาณที่เหมาะสม (Patterson, 1985) เนื่องจากในทางปฏิบัติตามโรงงานหรือในอุตสาหกรรมต่างๆ ต้องใช้ตัวดูดซับที่มีราคาแพง หากเราใช้ปริมาณตัวดูดซับมากเกินไปนั้นหมายถึง เงินทุนที่ต้องเสียไป

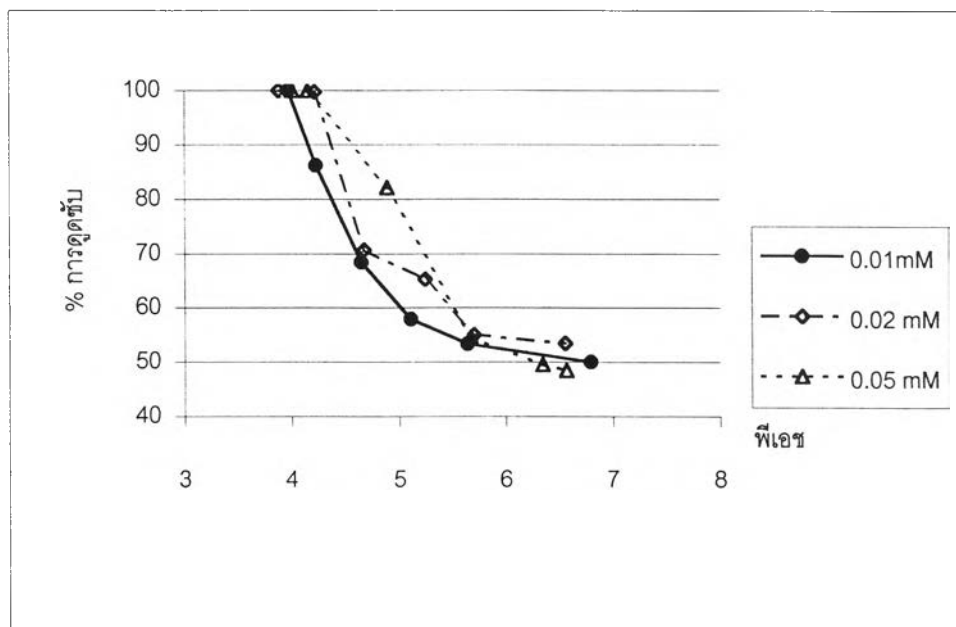
จากรูปที่ 4.15 แสดงผลของความเข้มข้นเริ่มต้นต่อการดูดซับซีเลเนียม โดยแกน X คือ ค่าพีเอช แกน Y คือ ค่าเปอร์เซ็นต์การดูดซับ ที่ความเข้มข้นเริ่มต้น 2, 5, 7 และ 10 มิลลิกรัมต่อลิตร พบว่าผลการทดลองส่วนใหญ่ มีแนวโน้มไม่แน่นอน ผลจากความเข้มข้นเริ่มต้นต่อการดูดซับซีเลเนียม เห็นไม่ชัดเจนเมื่อเปรียบเทียบกับตะกั่ว ซึ่งอาจเกิดจากค่าความเข้มข้นเริ่มต้นที่ใช้ในการทดลองมีความแตกต่างกันน้อยไป หรืออาจเกิดจากขั้นตอนการวัดโลหะหนักด้วยเครื่อง AA ซึ่งอาจมีค่าความคลื่อนของเครื่องที่ความเข้มข้นต่ำ ซึ่งเป็นเหตุผลทางเทคนิคของแต่ละเครื่อง หรือพีเอชมีผลต่อการดูดซับของซีเลเนียมมากกว่าจนเกือบจะไม่เห็นผลของความเข้มข้นเริ่มต้น

#### 4.6 ผลการทดลองที่ 6

การทดลองที่ 6 การศึกษาผลของความแรงไอออน ต่อการดูดซับตะกั่วและซีเลเนียมสำหรับการดูดซับบนกากตะกอน ในน้ำเสียสังเคราะห์ที่มีตะกั่วหรือซีเลเนียมเพียงอย่างเดียว



รูปที่ 4.16 ผลของความแรงไอออน ต่อการดูดซับตะกั่ว



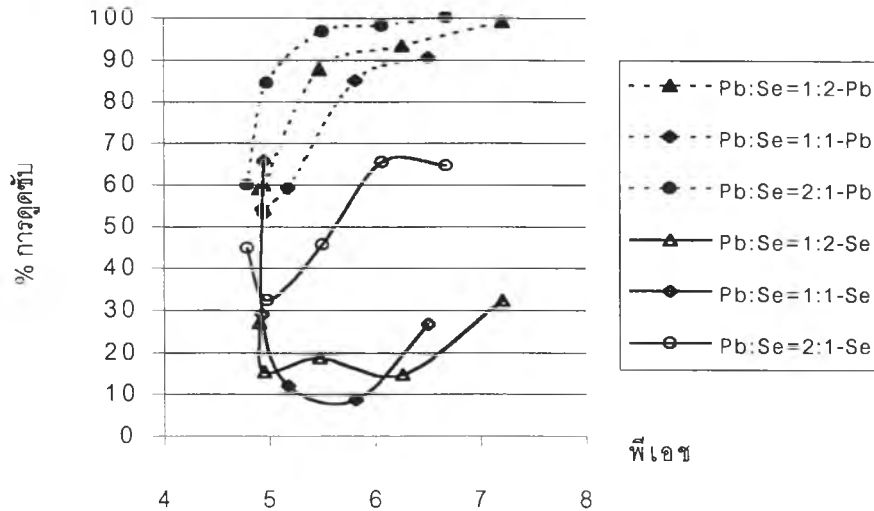
รูปที่ 4.17 ผลของความแรงไอออน ต่อการดูดซับซีเลเนียม

จากรูปที่ 4.16 ผลของความแรงไอออนต่อการดูดซับตะกั่วสำหรับการดูดซับบนกากตะกอน โดยแกน X คือ ค่าพีเอช แกน Y คือ ค่าเปอร์เซ็นต์การดูดซับ พบว่า เมื่อระบบมี Ionic Strength เพิ่มขึ้น จะมีค่าเปอร์เซ็นต์การดูดซับลดลง แต่เนื่องจากมีค่าความแตกต่างกันประมาณ 6-7% เช่น พีเอช 6 เมื่อความแรงไอออน = 0.01 mM เปอร์เซ็นต์การดูดซับมีค่าประมาณ 87%, ความแรงไอออน = 0.02 mM เปอร์เซ็นต์การดูดซับมีค่าประมาณ 83% และ ความแรงไอออน = 0.05 mM เปอร์เซ็นต์การดูดซับมีค่าประมาณ 75% ซึ่งสอดคล้องกับทฤษฎีและงานวิจัยที่ผ่านมา คือ เมื่อมีประจุบวกเข้ามารบกวนในระบบ แต่เนื่องจากตะกั่วในระบบมีประจุบวก  $Pb^{2+}$  เช่นเดียวกัน มีผลทำให้มีการดูดซับที่ลดลง เพราะทำให้บริเวณผิวของวัสดุดูดซับมีค่า net positive surface charge เพิ่มขึ้น แต่เนื่องจากตะกั่วมีการสร้างพันธะแบบแข็งแรงและเป็นแบบ inner – sphere surface complexes จึงทำให้มีผลต่อการดูดซับตะกั่วบ้าง แต่เมื่อเทียบกับความแรงไอออนที่เพิ่มขึ้นถึง 5 เท่า (0.01 – 0.05 mM) จะเห็นว่ามีผลเพียงเล็กน้อย (Stumm, 1992)

จากรูปที่ 4.17 ผลของความแรงไอออนต่อการดูดซับซีเลเนียมสำหรับการดูดซับบนกากตะกอน โดยแกน X คือ ค่าพีเอช แกน Y คือ ค่าเปอร์เซ็นต์การดูดซับ พบว่า มีผลตรงข้ามกับตะกั่ว คือเมื่อระบบมีความแรงไอออนเพิ่มขึ้นจะมีค่าเปอร์เซ็นต์การดูดซับเพิ่มขึ้น ประมาณ 5-6% เช่น พีเอช 5 เมื่อความแรงไอออน = 0.01 mM เปอร์เซ็นต์การดูดซับมีค่าประมาณ 58%, ความแรงไอออน = 0.02 mM เปอร์เซ็นต์การดูดซับมีค่าประมาณ 67% และ ความแรงไอออน = 0.05 mM เปอร์เซ็นต์การดูดซับมีค่าประมาณ 73% ซึ่งสอดคล้องกับทฤษฎีและงานวิจัยที่ผ่านมาคือ เมื่อมีประจุบวกเข้ามารบกวนในระบบ แต่เนื่องจากซีเลเนียมในระบบมีประจุลบ  $HSeO_3^-$ ,  $SeO_3^{2-}$  จึงทำให้มีการดูดซับลดลง เพราะทำให้บริเวณผิวของวัสดุดูดซับมีค่า net positive surface charge ลดลง แต่เนื่องจากซีเลเนียมมีการสร้างพันธะแบบแข็งแรงและเป็นแบบ inner – sphere surface complexes จึงทำให้มีผลต่อการดูดซับซีเลเนียมบ้าง แต่เมื่อเทียบกับความแรงไอออนที่เพิ่มขึ้นถึง 5 เท่า (0.01 – 0.05 mM) จะเห็นว่ามีผลเพียงเล็กน้อย (Neal และคณะ, 1987; Neal และคณะ, 1988; Pengchu และ Sparks, 1990; Wen-Hui Kuan, 1997)

#### 4.7 ผลการทดลองที่ 7

การทดลองที่ 7 การศึกษาผลของการดูดซับตะกั่วต่อซีเลเนียมและซีเลเนียมต่อตะกั่ว สำหรับการดูดซับบนกากตะกั่ว ในน้ำเสียสังเคราะห์



รูปที่ 4.18 แสดงผลของการดูดซับตะกั่วต่อซีเลเนียมและซีเลเนียมต่อตะกั่วในสัดส่วน 1:1, 1:2 และ 2:1 (โดยมิลลิกรัมต่อลิตร) สำหรับการดูดซับบนกากตะกั่ว

จากรูปที่ 4.18 ผลของการดูดซับตะกั่วต่อซีเลเนียมและซีเลเนียมต่อตะกั่วในสัดส่วน 1:1, 1:2 และ 2:1 (โดยมิลลิกรัมต่อลิตร) โดยมีแกน X คือ ค่าพีเอช แกน Y คือ ค่าเปอร์เซ็นต์การดูดซับ พบว่า สามารถเปรียบเทียบการดูดซับของตะกั่ว (เส้นประ) เมื่อมีสัดส่วนตะกั่วต่อซีเลเนียม 1:1 (รูปสี่เหลี่ยม) กับ 1:2 (รูปสามเหลี่ยม) หรืออีกนัยหนึ่งคือ เมื่อระบบมีปริมาณซีเลเนียมเพิ่มขึ้น ค่าเปอร์เซ็นต์การดูดซับของตะกั่วเพิ่มขึ้นเล็กน้อย ที่พีเอช 6 ประมาณ 4% เมื่อสัดส่วนตะกั่วต่อซีเลเนียม 1:1 (รูปสี่เหลี่ยม) เทียบกับ สัดส่วน 2:1 (รูปวงกลม) หรืออีกนัยหนึ่งคือ เมื่อระบบมีปริมาณตะกั่วเพิ่มขึ้น จะได้ค่าเปอร์เซ็นต์การดูดซับของตะกั่วเพิ่มขึ้น ที่พีเอช 6 ประมาณ 10%

การเปรียบเทียบการดูดซับของซีเลเนียม (เส้นทึบ) เมื่อมีสัดส่วนตะกั่วต่อซีเลเนียม 1:1 (รูปสี่เหลี่ยม), 1:2 (รูปสามเหลี่ยม) และ 2:1 (รูปวงกลม) จะพบว่า หากนำผลการทดลองการดูดซับซีเลเนียมอย่างเดียวโดยไม่มีตะกั่วในระบบมาเปรียบเทียบจะเห็นว่า ที่พีเอชสูง เมื่อระบบไม่มีตะกั่ว ค่าเปอร์เซ็นต์การดูดซับของซีเลเนียมจะมีค่าต่ำ แต่เมื่อระบบมีตะกั่ว จะทำให้ค่าเปอร์เซ็นต์การดูดซับของซีเลเนียมเพิ่มขึ้นในทุกสัดส่วน แต่ไม่มีแนวโน้มในสัดส่วนที่แน่นอน

จากผลการทดลองจะเห็นได้ว่า เมื่อระบบมีปริมาณตะกั่วหรือซีเลเนียมเพิ่มขึ้นต่างก็ช่วยเสริมให้ค่าเปอร์เซ็นต์การดูดซับของกันดีขึ้น